

高等学校教学用書

材 料 力 学

上 册

杜庆华等編著

高等 教育 出 版 社

高等学校教学用書



材 料 力 学
上 册

杜庆华等編著

高等 教育 出 版 社

高等学校教学用書



材 料 力 学

下 册

杜庆华等編著

高等教育出版社

本書系由杜慶華、孫訓方、賈有權、張福范等根據清華大學、天津大學、唐山鐵道學院三校歷年編寫的材料力學講義整理改寫後，由杜慶華主編而成，并經高等教育部審定為高等工業學校土建、機械類專業試用教材。

本書分上下冊出版。其編寫分工如下：杜慶華——第一、二、七§5—11，八、十六、二十一各章；孫訓方——第六、九、十、十四、十九、二十三、二十四各章；賈有權——第三、四、五、七§1—4（蘇翼林）、二十、二十二、二十五各章；張福范——第十一、十二、十三、十五、十七、十八各章。

材 料 力 学

上 册

杜慶華等編著

高等 教育 出版 社 出 版 北京琉璃廠 170 号

（北京市書刊出版業營業許可證出字第 051 号）

京華印書局印刷 新華書店總經售

統一書號 15010·557 開本 787×1092 1/16 印張 14 4/8 字數 326,000 印數 0001—9,200
1957 年 12 月第 1 版 1957 年 12 月北京第 1 次印刷 定價(10) ￥1.80

本書系由杜慶華、孫訓方、賈有權、張福范等教師根據清华大学、天津大學、唐山鐵道學院三校歷年編寫的材料力學講義整理改寫而成，由杜慶華教授主編，並經教育部同意作為高等工業學校土建、機械類專業的試用教材。

本書暫分上下冊出版。下冊共十一章，闡述構件的強度及剛度計算，靜不定系統的計算基礎，彈性地基上的梁，薄壁杆件的扭轉和彎曲，變形系統平衡的穩定問題，動載荷問題等等，並有豐富的例題和圖表。本書除供各高等學校廣泛使用外，還可供在職干部學習及工程技術人員參考之用。

材 料 力 學

下 冊

杜慶華等編著

高等教育出版社出版北京宣武門內承恩寺7號

(北京市書刊出版業營業許可證出字第054號)

京華印書局印刷 新華書店發行

統一書號 15010·729 開本 787×1092 1/16 印張144/8
字數 328,000 印數 0001—10,000 定價(10) 1.80
1958年9月第1版 1958年9月北京第1次印刷

序

材料力学是各个工程專業有关强度科学的基础課程，它的學習是工程教育中很重要的环节。过去几年来我們在教学中一直采用苏联教材譯本。显然，由于苏联教材內容的丰富和密切联系实际，使我們的教学向前推进了一大步。但是學習苏联必須很好地結合我国实际，我們完全有必要写一本为我国学生易于接受而同时又反映这一門科学最新成就的教材。按高等教育部交下的任务，清华大学、天津大学、唐山鐵道学院根据現有的机械土建和非机械土建类的材料力学教學大綱，在历年編写的原有講义的基础上写成了这本試用教材。

这本教材是三校在精神上和原則上基本上取得一致下，由作者們分写的，因而各个部分仍保留着不同的風格。本書編寫的分工如下：杜庆华——第一，二，七 § 5—11，八，十六，二十一章；孙訓方——第六，九，十，十四，十九，二十三，二十四章（徐滑、松弛，賈有權）；賈有權——第三，四，五，七 § 1—4（苏翼林），二十，二十二章，張福范——第十一，十二，十三，十五，十七，十八章。杜庆华負責主編，并由三校材料力学教研組給予了集体大力支持。

由于过去几年我們三校一直使用 H. M. Беляев 著材料力学（王光远等譯）作为教本，所以本書無疑地受到了它的深刻影响。有几节和圖表是标明引自該書的。但重要的特点是在力求簡易明了的条件下，把每一个問題的最新發展觀點用較少的篇幅引进到教材中来。本書也力求注意引用我国和我們自己工作的数据。我們正在繼續努力，希望在下一版中將能更多地表現这些方面。

必須請使用本書的同志注意，全書的內容并不是課堂所必講的。課堂講授的內容可以比本書少得多，而且也可以和本書不尽相同。本書只求能为大学二年級学生提供出这門科学深入的初步門徑而已。

我們原期这本书有五年的准备時間，但是由于教学的需要和兄弟学校的督促，我們現在提前付印。必須指出由于付印匆促和水平所限，這本書的內容和編排上都存在着缺点，希望讀者能予批評指正。

編著者

上冊 目錄

序 v

第一章 緒論

§ 1.1 材料力学的基本任务 1 | § 1.2 材料力学的發展簡史 1

第二章 基本概念

§ 2.1 材料力学的基本方法 5 | § 2.3 关于变形物体的一些重要基本概念 6
§ 2.2 材料力学研究的对象: 杆、板、壳 6 | § 2.4 作用于构件的外力及其分类・变形的基本形式 11

第三章 直杆的軸向拉伸和压缩

§ 3.1 与杆軸綫垂直的諸截面上的应力 13	§ 3.7 拉伸(或压缩)时的变形位能 20
§ 3.2 軸力圖 15	§ 3.8 橫截面軸向位移的确定 21
§ 3.3 与杆軸綫有傾角的諸斜截面上的应力 15	§ 3.9 許用应力・强度条件 22
§ 3.4 軸向变形及横向变形 17	§ 3.10 杆全長受有均布軸向力之計算 23
§ 3.5 虎克定律 17	§ 3.11 变截面杆 24
§ 3.6 橫向变形系数・拉压时体积改变 19	§ 3.12 例題 26

第四章 拉伸和压缩时材料强度的研究

§ 4.1 材料力学实验問題 29	§ 4.8 局部应力的概念・挤压应力 38
§ 4.2 軟鋼的拉伸实验 30	§ 4.9 材料的塑性与脆性状态 40
§ 4.3 拉伸时所需之功 33	§ 4.10 安全系数及許用应力的确定 40
§ 4.4 其他材料的拉伸圖 34	§ 4.11 溫度及加力速度对金屬材料机械性质的影响 42
§ 4.5 真应力圖 35	§ 4.12 彈性后效和徐滑的概念 43
§ 4.6 壓縮實驗 35	§ 4.13 重复应力作用下金屬材料的破坏 44
§ 4.7 材料的硬度和韌度 37	

第五章 拉伸和压缩的靜不定問題

§ 5.1 靜不定問題的解法 45	§ 5.3 溫度应力 51
§ 5.2 裝配应力 48	

第六章 剪切

§ 6.1 純剪切时的应力与变形・虎克定律 54	§ 6.5 接头部分的“假定計算” 60
§ 6.2 材料在純剪切时的强度・純剪切的强度条件 56	§ 6.6 鋼接头的“假定計算” 60
§ 6.3 純剪切單元体斜截面上的应力 57	§ 6.7 焊接头的“假定計算” 63
§ 6.4 材料的三个彈性常数 E 、 G 、 μ 间的关系 58	§ 6.8 接头部分“假定計算”的例題 64

第七章 应力状态理論

§ 7.1 应力状态举例 69	§ 7.7 三向(空間)应力状态的主应力 82
§ 7.2 二向应力状态下任意斜截面上应力的确定 72	§ 7.8 与主方向成等斜角面上的应力, 平均正应力和統計平均剪应力 84
§ 7.3 主应力、主平面及最大剪应力的确定 73	§ 7.9 三向应力状态的应力圓 85
§ 7.4 求应力的圖解法 74	§ 7.10 广义虎克定律・体积变形 86
§ 7.5 三向(空間)应力状态及其标号 80	§ 7.11 三向(空間)应力状态下材料的彈性变形位能 88
§ 7.6 任意斜截面上的应力 81	

第八章 强度及塑性理論

§ 8.1 关于强度理論的基本概念 91	§ 8.5 莫尔强度理論及其修正 96
§ 8.2 三个古典强度理論 92	§ 8.6 达維端柯夫及弗里特曼(Н. Н. Давиденков, Я. В. Фридман)联合强度理論的概念 99
§ 8.3 能量强度理論 93	
§ 8.4 对于古典理論及歪形能强度理論的修正 94	§ 8.7 对于强度理論的認識 101

第九章 平面圖形的几何性質

§ 9.1 定义 103	§ 9.2 平面圖形的靜面矩及形心位置 104
--------------------	-------------------------------

§ 9.3 簡單平面圖形的慣性矩 106	§ 9.8 組合的非對稱平面圖形的中心主慣性矩 114
§ 9.4 惯性矩及慣性積的平行軸原理 103	§ 9.9 計算型鋼組合截面慣性矩的例題 116
§ 9.5 組合的對稱平面圖形的慣性矩 109	§ 9.10 惯性半徑・慣性橢圓 117
§ 9.6 坐標軸旋轉時慣性矩及慣性積的變化(慣性 矩及慣性積的旋轉軸原理) 111	§ 9.11 計算不規則平面圖形慣性矩的近似法 119
§ 9.7 平面圖形的主慣性軸及主慣性矩 113	§ 9.12 几種常用的平面圖形之幾何性質 122

第十章 扭轉

§ 10.1 等直圓杆在扭轉時的應力計算 124	§ 10.7 變截面的圓軸在扭轉時的應力集中問題 138
§ 10.2 等直圓杆在扭轉時斜截面上的應力狀態 127	§ 10.8 非圓截面等直杆在純扭轉時的應力及變形 計算公式 140
§ 10.3 等直圓杆在扭轉時的變形與變形位能 128	§ 10.9 薄壁截面杆在純扭轉時的應力及變形 143
§ 10.4 實心和空心圓軸的強度條件和剛度條件 129	§ 10.10 薄膜比類法的概念 145
§ 10.5 圓截面傳動軸的設計 132	
§ 10.6 密閉螺旋彈簧的應力及變形 134	

第十一章 梁的弯曲・剪力与弯矩

§ 11.1 梁・支座的種類 147	§ 11.5 剪力、弯矩与載荷強度之間的關係 157
§ 11.2 梁的类型・集中載荷与分布載荷・支座反 力的計算 148	§ 11.6 应用微分关系繪制并校核圖形 159
§ 11.3 梁的橫截面內的內力・剪力与弯矩 150	§ 11.7 作圖的疊加法 161
§ 11.4 弯矩圖与剪力圖 154	§ 11.8 弯矩圖与剪力圖的圖解法 162

第十二章 梁的应力

§ 12.1 梁的正应力 165	§ 12.8 梁的剪应力的強度計算 178
§ 12.2 一般梁的計算・強度設計 168	§ 12.9 梁的主应力及主应力迹綫 178
§ 12.3 梁的截面的經濟形狀 171	§ 12.10 以主应力校核梁的強度 181
§ 12.4 矩形截面梁的剪应力 172	§ 12.11 薄壁截面的弯曲中心 182
§ 12.5 由于剪应力的作用梁橫截面的翹曲 175	§ 12.12 梁的变形能 185
§ 12.6 圓截面梁的剪应力 175	§ 12.13 等强度梁 186
§ 12.7 工形截面的剪应力 177	§ 12.14 組合梁 188

第十三章 梁的变形

§ 13.1 梁的挠度曲綫的微分方程 191	§ 13.6 以疊加法計算梁的变形 212
§ 13.2 挠度曲綫的微分方程的积分 193	§ 13.7 梁的剛度設計 213
§ 13.3 以起始參數法計算梁的挠度曲綫・通用方程 197	§ 13.8 變截面梁的变形 214
§ 13.4 圖解分析法解梁的挠度和斜度 205	§ 13.9 梁的理論的發展簡史 216
§ 13.5 挠度曲綫的圖解法 209	

附录 1—10

下册 目录

第十四章 在任意载荷作用下构件的强度计算

§14.1 杆在任意载荷作用下的应力计算方法.....	217	§14.6 受偏心拉伸(或压缩)的杆的应力计算及强度校核.....	227
§14.2 杆在斜弯曲情况下的应力及变形计算.....	218	§14.7 截面核心.....	230
§14.3 斜弯曲情况下梁的强度校核.....	222	§14.8 受扭转与弯曲联合作用的杆的强度校核.....	233
§14.4 杆在不同平面内的横向力作用下的弯曲问题.....	224	§14.9 曲柄轴的强度校核.....	237
§14.5 受弯曲与拉伸(或压缩)联合作用的杆的强度校核.....	225		

第十五章 任意载荷作用下杆件的刚度计算

§15.1 拉伸、扭转与弯曲的变形能计算.....	240	§15.4 卡氏定理.....	248
§15.2 变形能的一般算式·克拉贝依隆原理.....	241	§15.5 功的互等定理.....	251
§15.3 莫尔定理.....	243		

第十六章 静不定系统·力法

§16.1 静不定系统的一般概念.....	253	算的校核.....	262
§16.2 基本系统·解静不定问题的基本方法.....	254	§16.6 連續梁.....	263
§16.3 正则方程式.....	256	§16.7 三弯矩方程式.....	264
§16.4 最小功原理.....	261	§16.8 支座高度不准确的影响.....	267
§16.5 温度对于静不定系统的影响·静不定系统计			

第十七章 弹性地基上的梁

§17.1 一般概念.....	269	§17.4 半无限长梁.....	272
§17.2 挠度曲线的微分方程及其解.....	269	§17.5 有限长梁.....	274
§17.3 无限长梁.....	270		

第十八章 薄壁杆件的扭转和弯曲

§18.1 薄壁杆件的定义.....	280	§18.6 薄壁杆件约束扭转的剪应力.....	291
§18.2 自由扭转与约束扭转的概念.....	280	§18.7 薄壁杆件约束扭转的微分方程及其积分.....	294
§18.3 截面的几何性质.....	281	§18.8 薄壁杆件在复杂抗力的一般情况下的应力计算.....	296
§18.4 扭转中心与弯曲中心.....	285		
§18.5 基本假设·约束扭转的正应力算式.....	287		

第十九章 平面曲杆的强度及刚度计算

§19.1 平面曲杆的平面弯曲问题.....	301	§19.4 平面曲杆在平面弯曲时的强度条件.....	310
§19.2 平面曲杆在纯弯曲时的正应力公式.....	302	§19.5 计算曲杆在平面弯曲时正应力的另一方法.....	312
§19.3 中性层曲率半径 r 及截面形心到中性层距离 y_0 的计算.....	305	§19.6 平面曲杆弯曲正应力公式的讨论.....	313
		§19.7 平面曲杆弯曲变形的计算.....	315

第二十章 厚壁圆筒与薄壁容器

§20.1 计算厚壁筒应力与位移的方程式.....	317	§20.4 薄壁容器的应力计算.....	326
§20.2 各种受力情况下厚壁筒之应力及位移的计算.....	320	§20.5 容器联接环的计算.....	328
§20.3 组合筒的计算.....	322		

第二十一章 变形系统平衡的稳定问题

§21.1 稳定的平衡和不稳定的平衡.....	330	计算.....	339
§21.2 求临界力的欧拉公式.....	332	§21.5 压杆的稳定校核.....	344
§21.3 端点条件对临界力的影响.....	334	§21.6 稳定计算的一些特殊性质和它的实际意义.....	349
§21.4 欧拉公式的应用限度和超出弹性范围的稳定		§21.7 纵横弯曲的概念及强度校核.....	351

第二十二章 动載荷問題

§21.8 側穩定和其他穩定概念.....	355	§22.7 振動時應力的計算.....	368
§21.9 穩定計算的發展.....	356	§22.8 撞擊時應力的計算.....	372
§22.1 一般概念.....	358	§22.9 撞擊應力的計算實例.....	374
§22.2 構件作等加速運動時應力的計算.....	359	§22.10 考慮被撞擊之彈性體系的質量時撞擊應力的計算.....	376
§22.3 構件作等速轉動時應力的計算.....	360	§22.11 撞擊物自身應力之計算.....	378
§22.4 轉杆和搖杆內的應力.....	361	§22.12 撞擊時材料機械性質的實驗研究.....	380
§22.5 直杆的自然振動頻率.....	362		
§22.6 旋轉軸的共振，臨界速度.....	367		

第二十三章 交變應力下構件的強度計算

§23.1 基本概念.....	385	限曲線.....	400
§23.2 交變應力的符號及其循環特性.....	385	§23.8 材料與構件的簡化持久極限曲線及計算公式.....	403
§23.3 在交變應力下構件疲勞破壞的現象.....	387	§23.9 拉伸-壓縮、彎曲或扭轉的交變應力下構件的強度校核.....	405
§23.4 對交變應力下材料破壞原因的假說.....	389	§23.10 弯-扭組合交變應力下構件的強度計算.....	410
§23.5 材料的持久極限及其測定方法.....	392	§23.11 在不穩定的交變應力下按強度條件及按持久壽命計算構件的方法.....	413
§23.6 影響材料持久極限的主要因素.....	395		
§23.7 非對稱循環下持久極限的變化規律，持久極			

第二十四章 考慮材料的塑性時杆件的計算

§24.1 按承載能力法計算靜不定杆系.....	415	§24.5 高溫下的塑性變形·徐滑試驗.....	426
§24.2 按承載能力法計算受扭轉的圓軸.....	418	§24.6 徐滑時許用應力的確定.....	429
§24.3 按承載能力法計算靜定梁.....	420	§24.7 應力松弛.....	433
§24.4 按承載能力法計算連續梁，關於塑性鉸的概念.....	423		

附錄 1. 函數 η, η_1, η_2 和 η_3 的數據 436

附錄 2. 計算彈性地基上的等截面梁用的院士阿·恩·克雷洛夫的函數表 438

附錄 3. A. 工字形壓延斷面的屬性幾何特性 443

B. 構形壓延斷面的屬性幾何特性 444

第十四章 在任意載荷作用下构件的强度計算

§ 14.1. 杆在任意載荷作用下的应力計算方法

在以前各章中已討論了杆在載荷作用下发生拉伸、压缩、剪切、扭轉和弯曲五种基本形式的变形时，計算其橫截面上应力的方法。实际上，大多数的杆在載荷作用下往往同时发生两种以上的变形，例如机器上的傳動軸和曲柄軸是在弯曲和扭轉的联合作用下工作的，擋土墙除了受本身重量的压缩外还受土压力的作用而发生弯曲等（見圖 14.1）。

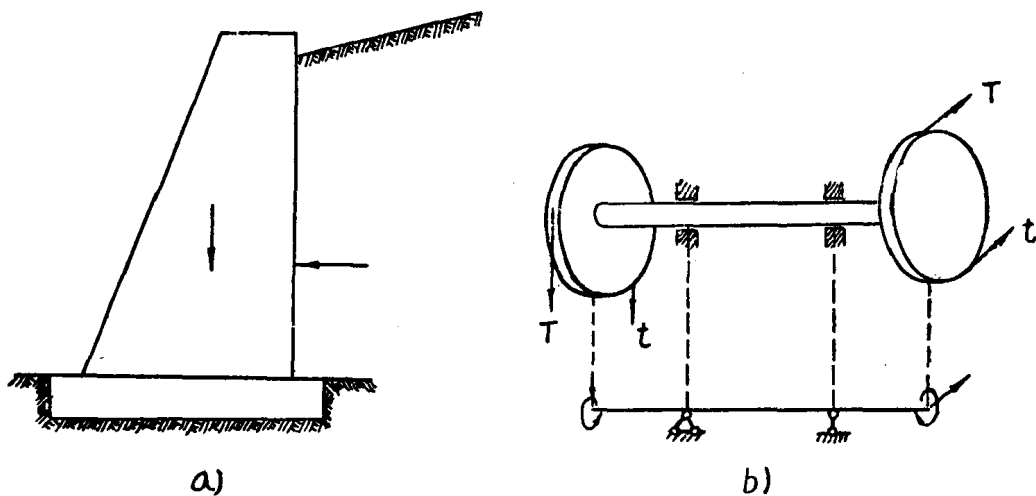


图 14.1

在任意載荷作用下，杆将同时发生两种以上的基本变形，按杆所发生的变形情况，在本章中將討論以下諸問題：

- (1) 斜弯曲，以及两个主平面內弯曲的联合作用；
- (2) 弯曲与拉伸或压缩的联合作用，偏心拉伸或压缩；
- (3) 弯曲与扭轉的联合作用，弯曲、扭轉与拉伸或压缩的联合作用。

在这一类問題的計算中，通常是利用生文南原理和力作用的迭加原理，将作用在杆上的任意載荷简化为一系列与其相当的載荷，每一个載荷仅产生一种基本形式的变形；分别求出每一个載荷在构件橫截面上所产生的应力，然后由力作用的迭加原理求出橫截面上总的应力即等于原来的載荷所产生的应力。必須指出，这种方法的应用是受到一定限制的，首先，在載荷作用点的邻近截面上不能用此方法計算应力（因为生文南原理只适用于离載荷作用点較远的截面处）；其次，在力作用的迭加原理不能应用的某些情况中（例如細长杆同时受纵向力和横向力而弯曲时）也不能应用此种方法。

在計算任意載荷作用下棱体杆任意橫截面上[例如图 14.2, a)的 mn 截面]的应力时，可以用所研究的橫截面将杆假想地截开为两部分，弃去其左半而研究其留下的右半；作用在留

下部分上的外力可以简化到横截面 mn 的形心处从而变成三个通过截面形心的力 N, Q_y, Q_z 和三个力偶 M_k, M_y^H, M_z^H [图 14.2, b)], 其中 x 轴与棱体杆的轴线(横截面形心联线)重合, y, z 两轴则为横截面的两个中心主惯性轴。每一个力或力偶均只产生一种基本形式的变形。与此六个简化的外力相对应的变形形式、内力素[参看图 14.2, c)]以及横截面上的应力计算公式可以参看表 14.1。根据这些应力计算公式, 利用力作用的迭加原理, 即可求出横截面上任意一点的应力, 作为强度计算的根据。

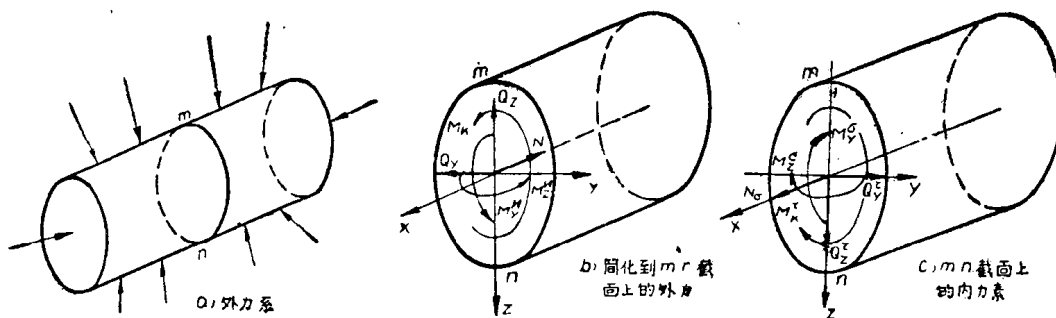


图 14.2

表 14.1

简化到横截面形心上的外力	相应的内力素	相应的变形	横截面上应力的计算公式
$N = \Sigma X$	轴力 N_σ	拉伸或压缩	$\sigma = \frac{N}{F}$
$Q_y = \Sigma Y$	剪力 Q_y^τ	主平面 xy 内的剪切	$\tau_y = \frac{Q_y S(v)}{J_z b(y)}$
$Q_z = \Sigma Z$	剪力 Q_z^τ	主平面 xz 内的剪切	$\tau_z = \frac{Q_z S(z)}{J_y b(z)}$
$M_k = \Sigma M_x$	扭矩 M_k^τ	扭转	$\tau = \frac{M_k \rho}{J_p}$ (圆截面)
$M_y^H = \Sigma M_y$	弯矩 M_y^σ	主平面 xz 内的弯曲	$\sigma = \frac{M_y z}{J_y}$
$M_z^H = \Sigma M_z$	弯矩 M_z^σ	主平面 xy 内的弯曲	$\sigma = \frac{M_z y}{J_z}$

§ 14.2. 杆在斜弯曲情况下的应力及变形計算

当垂直于杆轴线的横向力的作用平面并不与杆的主平面(即通过横截面的一个中心主轴而与横截面垂直的平面, 例如图 14.2 中的 xy 和 xz 平面)重合时, 实验结果指出: 弯曲后杆的轴线(挠曲线)已经不在外力的作用平面上了, 这种弯曲即被称为斜弯曲, 屋面上的桁条是斜弯曲的典型例子(图 14.3)。

斜弯曲可以看成是两个平面弯曲的联合作用, 因此, 只要将斜弯曲分解为两个主平面内的平面弯曲, 分别计算在两个平面弯曲中横截面上任意一点 c 的正应力, 再利用力作用的迭加原理求出两个正应力的代数和, 即等于在斜弯曲情况下横截面上 c 点的正应力 [图

14.4, a)], 并且从而可确定横截面上的最大正应力。以同样的道理分别算出两个平面弯曲情况中的挠度，按力作用的迭加原理算出其向量和，即可求出在斜弯曲情况中的最大挠度。

下面以一端固定，另一自由端承受集中载荷 P 的椭圆截面直梁的斜弯曲为例（图 14.4），来说明斜弯曲时梁的横截面上正应力和梁的变形的计算方法。

假定载荷 P 作用在自由端截面的形心 B 上，其方向与截面的中心主轴之一的 z 轴成 φ 角，假定 yz 坐标轴的选择方法是使 P 力恒在坐标系的第一象限内。现在将 P 力分解为沿 y 轴和 z 轴方向的两个力 P_y 和 P_z ，其值为：

$$P_y = P \sin \varphi, \quad P_z = P \cos \varphi.$$

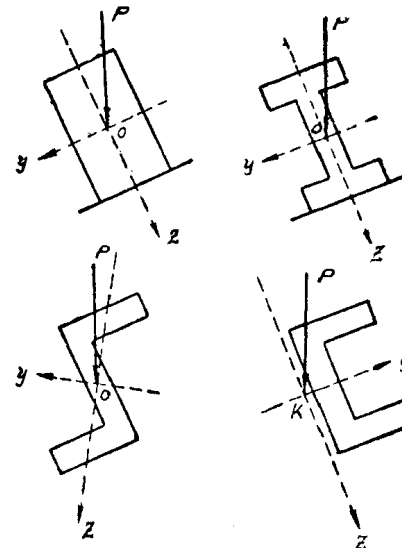


图 14.3

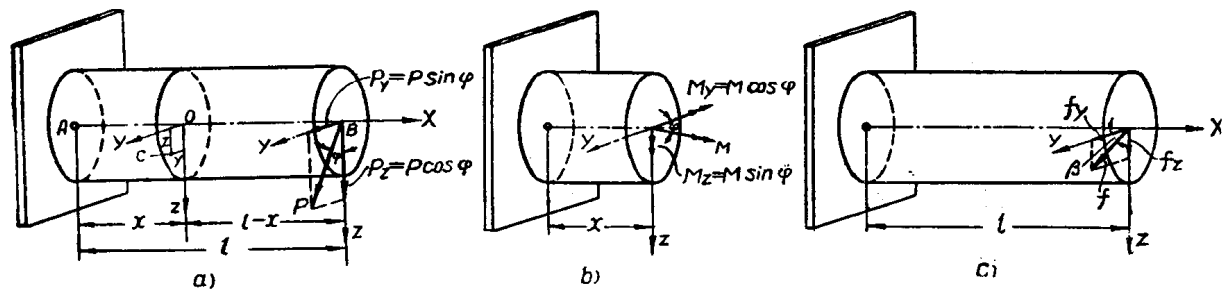


图 14.4

P_y 和 P_z 两力将使梁分别在两个主平面 xy 和 xz 内发生平面弯曲。在任意 x 截面上由于这两个力所引起的弯矩将等于

$$\begin{aligned} M_z &= P_y \cdot (l - x) = P \cdot \sin \varphi \cdot (l - x) = M \sin \varphi; \\ M_y &= P_z \cdot (l - x) = P \cdot \cos \varphi \cdot (l - x) = M \cos \varphi. \end{aligned} \quad (14.1)$$

其中： $M = P(l - x)$ 代表在 P 力作用平面内的弯矩。显然弯矩 M_y 和 M_z 同样也可以通过向量分解的方法将弯矩 M 分解到两个主轴方向以求得[图 14.4, b)]。

在 x 截面上任意一点 $c(+y, +z)$ 处的正应力，可以分别地按两个平面弯曲来计算：

$$\text{由于 } M_y \text{ 的作用 } \sigma' = -\frac{M_y \cdot z}{J_y} = -\frac{M \cos \varphi \cdot z}{J_y},$$

$$\text{由于 } M_z \text{ 的作用 } \sigma'' = -\frac{M_z \cdot y}{J_z} = -\frac{M \sin \varphi \cdot y}{J_z};$$

上式中的负号是因为在 c 点 $(+y, +z)$ 处由于 M_y 和 M_z (均为正值弯矩) 所引起的正应力均为压应力的缘故。

它们的代数和即等于梁在斜弯曲情况下由于弯矩 M 所引起的 x 截面上 c 点处的正应力：

$$\sigma = \sigma' + \sigma'' = -M \left[\frac{z \cos \varphi}{J_y} + \frac{y \sin \varphi}{J_z} \right], \quad (14.2)$$

上式中 J_y 和 J_z 依次代表横截面对 y 轴及 z 轴的惯性矩。由于将 P 力放在 yz 坐标系的第

一象限中，因此可以認為 M 和 φ 均為正值，用(14.2)式計算任一點的正應力時只需將該點的 y, z 坐標的代數值代入，即可得到該點的正應力，正值代表拉應力而負值則代表壓應力。

(14.2)式雖然是根據一端固定，另一自由端受集中載荷作用的梁在斜彎曲情況下所導出的，但同樣可適用於其他支座形式及載荷情況的梁中，為了保證(14.2)式的符號正確，必須選擇 yz 坐標軸位置，使載荷恒作用在 yz 坐標系的第一象限內。

既知橫截面上任意一點的正應力，即可進一步確定橫截面上的最大正應力所在點的位置及其數值。由於斜彎曲可以看成是兩個平面彎曲的聯合作用，而在平面彎曲時會假定橫截面象剛性平面一樣地繞中性軸旋轉（變形的平面假設），因此，在兩個平面彎曲的聯合作用下，橫截面將繞兩個中性軸旋轉，根據理論力學中的原理可知，其組合的效果即相當於橫截面繞通過此兩中性軸交點的另一軸旋轉，這個軸也就是在斜彎曲情況下橫截面上的中性軸，或稱為零應力線。既然在斜彎曲情況下橫截面也象剛性平面一樣地繞其零應力線旋轉，因此，橫截面的任意點的正應力均與該點到零應力線的垂直距離成正比，換言之，即沿橫截面上任一直線上各點的正應力均按直線規律變化（圖14.5）。這樣，就可以得到如下的結論：離零應力線垂直距離最遠的點其正應力為最大。因此，要確定最大正應力所在點的位置及其數值，首先應該確定零應力線的位置。據根定義，零應力線上各點的正應力均等於零，因此，若令 (y_0, z_0) 為零應力線上任意一點的坐標，則有如下條件：

$$(\sigma)_{\substack{y=y_0 \\ z=z_0}} = -M \left[\frac{z_0 \cos \varphi}{J_y} + \frac{y_0 \sin \varphi}{J_z} \right] = 0,$$

從而得到零應力線的方程式：

$$\frac{\cos \varphi}{J_y} \cdot z_0 + \frac{\sin \varphi}{J_z} \cdot y_0 = 0; \quad (14.3)$$

(14.3)式是一條通過坐標原點的直線，它與 y 軸間的夾角 α 值可以由下式算出

$$\tan \alpha = \frac{z_0}{y_0} = -\tan \varphi \cdot \frac{J_y}{J_z}, \quad (14.4)$$

上式中的負號表示 α 角是在 yz 坐標系中的第二象限內（圖14.5）。

既知零應力線的位置，即可作與零應力線平行的線使與橫截面的周邊相切，以確定離零應力線垂直距離最遠點的位置（即最大正應力所在點），例如圖14.5中的1、2兩點。該兩點處的正應力分別為橫截面上的最大拉應力和最大壓應力。將兩點坐標的代數值 (y_1, z_1) 、 (y_2, z_2) 代入公式(14.2)，即得橫截面上的最大拉應力和最大壓應力。在圖14.5所示之例中：

$$\left. \begin{aligned} \text{最大拉應力在1點} (y_1, z_1 \text{ 均為負值}): \quad \sigma_{\max} = \sigma_1 &= -M \left[\frac{z_1 \cos \varphi}{J_y} + \frac{y_1 \sin \varphi}{J_z} \right]; \\ \text{最大壓應力在2點} (y_2, z_2 \text{ 均為正值}): \quad \sigma_{\max} = \sigma_2 &= -M \left[\frac{z_2 \cos \varphi}{J_y} + \frac{y_2 \sin \varphi}{J_z} \right]. \end{aligned} \right\} \quad (14.5)$$

上述方法及公式可以來確定在斜彎曲情況下任意形狀的橫截面上（例如圖14.6所示的鋼軌截面）的最大應力。

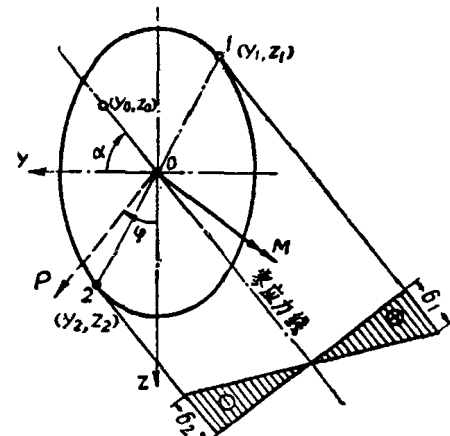


圖 14.5

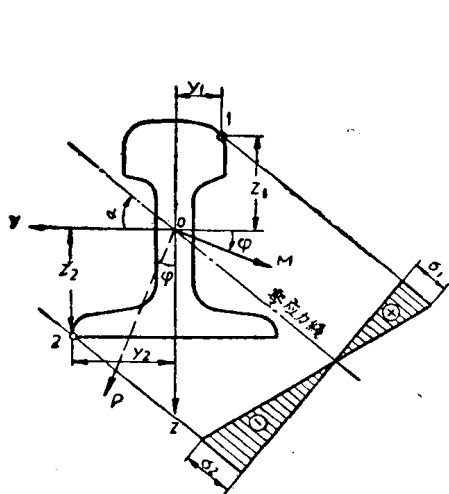


图 14.6

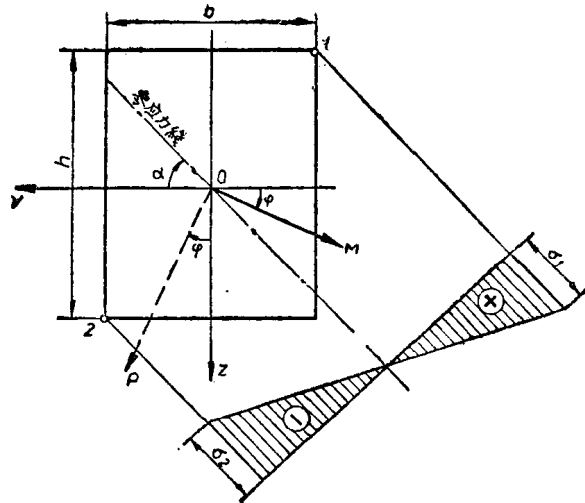


图 14.7

在图 14.7 所示的矩形截面中, 将 1,2 两点的坐标值代入(14.5)式可得:

$$\left. \begin{aligned} \rho \sigma_{\max} = \sigma_1 &= -M \left[\frac{-h \cos \varphi}{J_y} + \frac{-b \sin \varphi}{J_z} \right] = M \left[\frac{\cos \varphi}{W_y} + \frac{\sin \varphi}{W_z} \right] = \frac{M_y}{W_y} + \frac{M_z}{W_z}; \\ \rho \sigma_{\max} = \sigma_2 &= -M \left[\frac{h \cos \varphi}{J_y} + \frac{b \sin \varphi}{J_z} \right] = -M \left[\frac{\cos \varphi}{W_y} + \frac{\sin \varphi}{W_z} \right] = -\left[\frac{M_y}{W_y} + \frac{M_z}{W_z} \right]. \end{aligned} \right\} \quad (14.6)$$

讀者可自行證明, 在具有棱角的对称截面中(例如矩形、工字形等截面)最大正应力恒发生在 yz 坐标系的第一三两象限的頂角处(当載荷作用在第一象限时), 而且其值恒可由公式(14.6)来計算。必須指出, 对于沒有棱角的截面决不可以用公式(14.6)来計算最大正应力。

在两个中心主慣性矩相等的截面中(即 $J_y = J_z$), 例如圓形、正方形、环形截面等, 由(14.4)式可算出其零应力線与 y 軸間的夹角 α 的正切值:

$$\operatorname{tg} \alpha = -\operatorname{tg} \varphi \cdot \frac{J_y}{J_z} = -\operatorname{tg} \varphi,$$

由此可知, 零应力線垂直于外力的作用平面。这就是說, 在这一类截面中, 不論載荷作用在哪个平面內均将发生平面弯曲而不会发生斜弯曲。因此, 对于这类截面可以直接按平面弯曲公式进行計算。事实上, 在 $J_y = J_z$ 的截面中, 任何通过截面形心的軸均为中心主軸(可以由公式 9.21 推导出), 因此, 根本就沒有发生斜弯曲的可能。

在斜弯曲中計算剪应力的方法, 显然也同样地可以采用分別計算两个平面弯曲情况中的剪应力, 然后按迭加原理算出其几何和来(因为两个剪应力方向互相垂直)。但由于在斜弯曲情况下剪应力的数值往往很小, 在实际运算中是不考慮剪应力强度条件的, 因此这种計算沒有实用价值, 这里就不加討論了。

最后来研究斜弯曲情况下撓度的計算。仍以图 14.4 所示之梁为例, 要計算梁自由端的撓度, 首先还是把 P 力分解成 P_y 和 P_z 两个分力, 然后計算在这两个分力作用的平面弯曲中, 梁在自由端的撓度 f_y 和 f_z , 最后求出它们的向量和, 即得斜弯曲时的总撓度 f 。由平面弯曲中的公式可知:

$$f_y = \frac{P_y l^3}{3EJ_z} = \frac{P \sin \varphi l^3}{3EJ_z}; \quad f_z = \frac{P_z l^3}{3EJ_y} = \frac{P \cos \varphi l^3}{3EJ_y};$$

梁自由端的总挠度等于:

$$f = \sqrt{f_y^2 + f_z^2} = \frac{Pl^3}{3EJ_z} \sqrt{\sin^2 \varphi + \left(\frac{J_z}{J_y}\right)^2 \cos^2 \varphi}. \quad (14.7)$$

上式同样可以用以计算其他载荷方式和支座情况下的梁在斜弯曲时的总挠度，只需将根号前面的系数改变为相应于各种支座和载荷情况下在 xy 平面内发生平面弯曲时的挠度值即可。

由 f_y 和 f_z 的数值还可以算出总挠度与 y 轴间的夹角 β [图 14.4,c)] 的数值:

$$\operatorname{tg} \beta = \frac{f_z}{f_y} = \frac{J_z}{J_y} \cdot \operatorname{ctg} \varphi. \quad (14.8)$$

由此证明了在斜弯曲情况下挠曲线所在平面与载荷的作用平面是不重合的，因为只有当 $\operatorname{tg} \beta = \operatorname{ctg} \varphi$ 时才意味着两者的重合。

由公式(14.4)知道零应力线与 y 轴间的夹角 α 是由

$$\operatorname{tg} \alpha = -\frac{J_y}{J_z} \operatorname{tg} \varphi$$

来计算的。从而得:

$$\operatorname{tg} \beta \cdot \operatorname{tg} \alpha = \frac{J_z}{J_y} \operatorname{ctg} \varphi \cdot \left(-\frac{J_y}{J_z} \operatorname{tg} \varphi\right) = -1;$$

由此可知零应力线仍旧是与梁的挠曲线所在平面垂直的。

§ 14.3. 斜弯曲情况下梁的强度校核

根据(14.5)式可以进行在斜弯曲情况下梁的强度校核。首先，应该确定最大弯矩所在截面的位置及最大弯矩值 M_{\max} ，然后将 M_{\max} 值代入(14.5)式即可得到在斜弯曲情况下梁的横截面上的最大正应力。在材料的拉压强度不等的情况下，可得出如下两强度条件:

$$\left. \begin{array}{l} p\sigma_{\max} = -M_{\max} \left[\frac{z_1 \cos \varphi}{J_y} + \frac{y_1 \sin \varphi}{J_z} \right] \leq [\sigma]_p, \\ c\kappa\sigma_{\max} = \left| -M_{\max} \left[\frac{z_2 \cos \varphi}{J_y} + \frac{y_2 \sin \varphi}{J_z} \right] \right| \leq [\sigma]_{c\kappa\kappa}. \end{array} \right\} \quad (14.9)$$

在材料的拉压强度相等的情况下，只需利用上式中的一个强度条件即足。

在一般工程中常用的截面多半是有棱角的对称截面(例如图 14.8 中的诸截面)，在这一类截面中的最大拉应力与最大压应力相等，且可由(14.6)式来计算:

$$c\kappa\sigma_{\max} = \pm \left[\frac{M_{y\max}}{W_y} + \frac{M_{z\max}}{W_z} \right]. \quad (14.6)$$

同时，常用的梁均为钢制，其拉伸与压缩

的许用应力是相等的，因此，对于这一类构件的强度条件可以写为

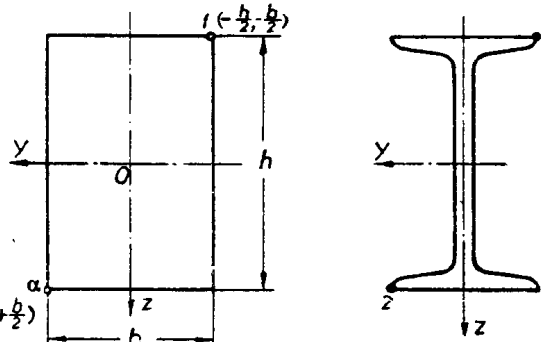


图 14.8

$$p\sigma_{\max} = \left[\frac{M_{y\max}}{W_y} + \frac{M_{z\max}}{W_z} \right] \leq [\sigma]_p; \quad (14.10)$$

或简化为

$$\frac{M_{y\max}}{W_y} \left[1 + \frac{W_y}{W_z} \operatorname{tg} \varphi \right] \leq [\sigma]_p, \quad (14.11)$$

其中 $\operatorname{tg} \varphi = \frac{M_{z\max}}{M_{y\max}}$ [参看图 14.4,b)]。

由以上强度条件可知, 在斜弯曲情况下选择截面是较为困难的, 因为在强度条件中包括了两个未知的抗弯截面模数。若按(14.11)式选择截面则可以较为简便。

在矩形截面中(图 14.8)

$$\frac{W_y}{W_z} = \frac{\frac{1}{6}bh^2}{\frac{1}{6}b^2h} = \frac{h}{b},$$

因此, 只要知道 h 与 b 的比值即可确定 $\frac{W_y}{W_z}$ 的比值, 从而可按(14.11)式直接选择截面尺寸。

在工字钢及槽钢的截面选择中, 可以根据以下的 $\frac{W_y}{W_z}$ 近似值:

$$\text{工字钢截面} \quad \frac{W_y}{W_z} \doteq (8 \sim 10),$$

$$\text{槽钢截面} \quad \frac{W_y}{W_z} \doteq (6 \sim 8).$$

利用公式(14.11)初步选择一个截面, 然后再按所用截面实际的 $\frac{W_y}{W_z}$ 比值代入公式(14.11)进行核算, 通常经过一两次试算后即可最后确定所用截面的号码。

例题 14.1 跨度为 4m 的工字钢梁, 两端简支, 在梁跨的中点承受 $P=2T$ 的集中载荷作用, 载荷平面与截面主轴 z 间的夹角为 $\varphi=15^\circ$ (图 14.9)。钢的许用应力为 $[\sigma]=1600 \text{ kg/cm}^2$ 。选择此工字钢的号码, 并计算其最大挠度。

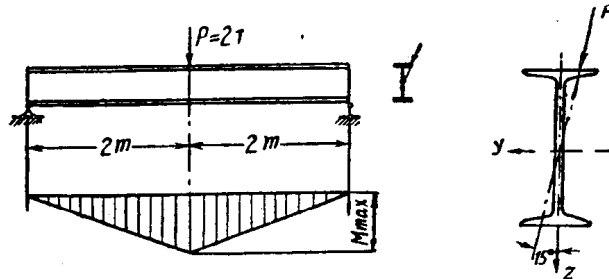


图 14.9

解: 在载荷平面内, 梁的最大弯矩在集中载荷作用的截面处:

$$M_{\max} = \frac{1}{4}Pl = \frac{1}{4} \times 2000 \times 400 = 200000 \text{ kg-cm}.$$

在主平面 oz 内的最大弯矩为

$$M_{y\max} = M_{\max} \cdot \cos \varphi = 200000 \cos 15^\circ = 193000 \text{ kg-cm}.$$

先假定工字钢的 $\frac{W_y}{W_z} = 6$, 由强度条件(14.11)得:

$$W_y \geq \frac{M_{y\max}}{[\sigma]} \left[1 + \frac{W_y}{W_z} \operatorname{tg} \varphi \right] = \frac{193000}{1600} [1 + 6 \cdot \operatorname{tg} 15^\circ] = 315 \text{ cm}^3.$$

由工字钢表查得 22b 工字钢:

$$W_y = 325 \text{ cm}^3; \quad W_z = 42.7 \text{ cm}^3; \quad \frac{W_y}{W_z} = \frac{325}{42.7} = 7.62.$$